

# Mesures de Gibbs vs. $g$ -mesures

Arnaud Le Ny<sup>(1)</sup>

<sup>(1)</sup> Université Paris Est Créteil- Val de Marne (UPEC)  
(Laboratoire d'Analyse et de Mathématiques Appliquées, LAMA - UMR CNRS 8050)

*Journées de Probabilités 2017,*

Aussois, jeudi 22 juin 2017, 10h30-11h15

# Références

## Courte bibliographie – Chronologie

- [Dob68]** R. Dobrushin. TPA 13, 1968.  
*The Description of a Random Field by Means of Conditional Probabilities and Conditions of its Regularity.*
- [LR69]** O. Lanford, D. Ruelle. CMP 13, 1969.  
*Observables at Infinity and States with Short Range Correlations in Statistical Mechanics.*
- [Dob72]** R. Dobrushin. TPA 17, 1972.  
*Gibbs state describing the coexistence of phases in the 3d Ising model.*
- [G80]** S. Goldstein. *Remarks on the Global Markov Property.* CMP 74, 1980.
- [F80]** H. Föllmer. *On the Global Markov Property.* Springer NY, 1980.
- [AHK081]** : S. Albeverio, R. Hoegh-Krohn, G. Olsen. JMA 11, 1981.  
*The Global Markov Property for Lattice Systems.*
- [FP97]** : R. Fernández, C.-E. Pfister. AP 25, 1997.  
*Global Specification and non-Quasilocality of Projections of Gibbs Measures.*
- [CFMP05]** : M. Cassandro, P. Ferrari, I. Merola, E. Presutti. JMP 46, 2005.  
*Geometry of Contours and Peierls Estimate in  $d = 1$  Ising Models with Long-Range Interactions.*
- [CMPR14]** : M. Cassandro, I. Merola, P. Picco, U. Rozikov. CMP 327, 2014.  
*One-Dimensional Ising Models with Long Range Interactions : Cluster Expansions, Phase-Separating point.*
- [LP16]** : J. Littin, P. Picco. Preprint 2016.  
*Quasi-Additive Estimates on the Hamiltonian for the One-Dimensional Long-Range Ising Model.*
- [CMP17]** M. Cassandro, I. Merola, P. Picco. JSP 167, 2017.  
*Phase Separation for the Long-Range One-Dimensional Ising Model.*
- [BEELN17]** : R. Bissacot, E. Endo, A. van Enter, A. Le Ny. ArXiv 2017.  
*Entropic Repulsion and Lack of the  $g$ -measure Property for Dyson Models.*
- [BFV17]** : S. Berghout, R. Fernández, E. Verbitskiy. Preprint 2017.  
*On the Relation Between Gibbs and  $g$ -measures.*

# Programme de l'exposé

- 1 Cadre DLR en mécanique statistique mathématique
- 2 Modèles d'Ising (proche-voisins) en dimensions 2 et 3
- 3 Modèle d'Ising à longue portée sur  $\mathbb{Z}$
- 4 Absence de  $g$ -mesure pour  $\mu_\beta^+$  à basse température
- 5 Perspectives

# Programme de l'exposé

- 1 Cadre DLR en mécanique statistique mathématique
- 2 Modèles d'Ising (proche-voisins) en dimensions 2 et 3
- 3 Modèle d'Ising à longue portée sur  $\mathbb{Z}$
- 4 Absence de  $g$ -mesure pour  $\mu_{\beta}^{+}$  à basse température
- 5 Perspectives

# Espaces probabilisés produits infinis

**Configurations :**  $\sigma, \omega \in (\Omega, \mathcal{F}, \rho) := (E, \mathcal{E}, \rho_0)^{\otimes S}$ ,  $\omega = (\omega_i)_{i \in S}, \omega_i \in E$

**Réseau infini :**  $S = \mathbb{Z}^d, \mathbb{Z}^2, \mathbb{Z}, \mathcal{T}^k$ , etc.  $\mathcal{S} = \{ \Lambda \in S, |\Lambda| < \infty \}$

**Espace d'états :**  $E = \{-1, +1\}$ ,  $\mathcal{E} = \mathcal{P}(E)$ ,  $\rho_0 = \frac{1}{2}\delta_{-1} + \frac{1}{2}\delta_{+1}$

**Topologie :** Base de voisinages de  $\sigma \in \Omega$  :  $(\mathcal{N}_\Lambda(\sigma))_{\Lambda \in \mathcal{S}}$  avec

$$\mathcal{N}_\Lambda(\sigma) = \left\{ \omega \in \Omega, \omega_\Lambda = \sigma_\Lambda, \omega_{\Lambda^c} \text{ arbitraire} \right\}$$

Sous-voisinages particuliers : couronnes  $\Delta \subset \Lambda, \Delta \in \mathcal{S}$

$$\mathcal{N}_{\Lambda, \Delta}^\pm(\sigma) = \left\{ \omega \in \mathcal{N}_\Lambda(\sigma), \omega_{\Delta \setminus \Lambda} = \pm_{\Delta \setminus \Lambda}, \omega_{\Delta^c} \text{ arbitraire} \right\}$$

**Continuité :**  $f \in C(\Omega) \iff \lim_{\Lambda} \sup_{\sigma_\Lambda = \omega_\Lambda} |f(\sigma) - f(\omega)| = 0$

# Mesures DLR : Transitions de phases en méca. stat.

**Spécifications** : Noyaux  $\gamma = (\gamma_{\Lambda})_{\Lambda \in \mathcal{S}}$ ;  $\gamma_{\Lambda} : \mathcal{F}_{\Lambda^c} \times \Omega_{\Lambda} \mapsto [0, 1]$  tq :

- 1  $\forall \Lambda \in \mathcal{F}$ , l'application  $\gamma_{\Lambda}(A|\cdot)$  est  $\mathcal{F}_{\Lambda^c}$ -mesurable.
- 2  $\forall \omega \in \Omega$ , l'application  $\gamma_{\Lambda}(\cdot|\omega)$  est une probabilité sur  $(\Omega_{\Lambda}, \mathcal{F}_{\Lambda})$ .
- 3 **Propreté** :  $\gamma_{\Lambda}(B|\omega) = \mathbf{1}_B(\omega)$ ,  $\forall B \in \mathcal{F}_{\Lambda^c}$  ( $\omega$  cond. aux bords).
- 4 **Cohérence DLR** :  $\Lambda \subset \Lambda' \in \mathcal{S}$ ,  $\implies \gamma_{\Lambda'}\gamma_{\Lambda} = \gamma_{\Lambda'}$

**Mesures DLR** :  $\mu \in \mathcal{G}(\gamma) \iff \mu\gamma_{\Lambda} = \mu, \forall \Lambda \in \mathcal{S}$

**Écriture alternative** :  $\forall \Lambda \in \mathcal{S}, \mu[\cdot|\mathcal{F}_{\Lambda^c}](\omega) = \gamma_{\Lambda}(\cdot|\omega), \mu$ -a.e. ( $\omega$ )

Actions des noyaux :  $\forall \Lambda, \Lambda' \in \mathcal{F}, \forall A \in \mathcal{F}, \forall \omega \in \Omega,$

$$\gamma_{\Lambda}\gamma_{\Lambda'}(A|\omega) = \int_{\Omega} \gamma_{\Lambda'}(A|\sigma)\gamma_{\Lambda}(d\sigma|\omega), \quad \mu\gamma_{\Lambda}(A) = \int_{\Omega} \gamma_{\Lambda}(A|\omega)\mu(d\omega)$$

# États d'équilibre à volume fini : Boltzmann-Gibbs

$$\sigma_\Lambda \in (\Omega_\Lambda, \mathcal{F}_\Lambda, \rho_\Lambda), \mu_\Lambda \in \mathcal{M}_1^+(\Omega), \Phi = (\Phi_A)_{A \in \mathcal{S}}, H_\Lambda(\sigma) = \sum_{A \subset \Lambda} \Phi_A(\sigma)$$

"Poids" de Boltzmann-Gibbs :  $\nu_\Lambda^\beta(\sigma_\Lambda) = \frac{1}{Z_\Lambda^\beta} e^{-\beta H_\Lambda(\sigma)}, \beta = \frac{1}{T}$

"2<sup>d</sup> principe" : l'état d'équilibre minimise l'énergie libre  $F = U - TS$

- Energie  $U := \mathbb{E}_\mu[H_\Lambda] = \sum_{\sigma_\Lambda \in \Omega_\Lambda} H_\Lambda(\sigma) \mu_\Lambda(\sigma)$
- Entropie  $S := S_\Lambda(\mu) = - \sum_{\sigma_\Lambda \in \Omega} \mu_\Lambda(\sigma) \ln \mu_\Lambda(\sigma)$
- Energie libre  $\mathcal{F}_\Lambda(\mu) := \mathbb{E}_\mu[H_\Lambda] - \frac{1}{\beta} S_\Lambda(\mu)$

Conflit énergie-entropie résolu par  $\nu^\beta$

Entropie relative :  $\mathcal{H}_\Lambda(\mu|\nu) := \sum_{\sigma} \mu_\Lambda(\sigma) \ln \frac{\mu(\sigma)}{\nu(\sigma)} \geq 0$

$$\mathcal{H}_\Lambda(\mu|\nu^\beta) = \mathcal{F}_\Lambda(\mu) + \frac{1}{\beta} \ln Z_\Lambda^\beta \geq 0, \quad = 0 \text{ ssi } \mu = \nu^\beta$$

L'énergie libre est minimale pour  $\nu_\Lambda^\beta$  (et vaut alors  $-\frac{1}{\beta} \ln Z_\Lambda^\beta$ )

# États d'équilibre à volume infini : Mesures de Gibbs

**Hamiltonien à conditions aux bords  $\omega$  :**

$$H_{\Lambda}^{\Phi}(\sigma|\omega) = \sum_{A \cap \Lambda \neq \emptyset} \Phi_A(\sigma_{\Lambda} \omega_{\Lambda^c})$$

où  $\Phi$  est un potentiel **U.A.C.** ( $\sum_{A \cap \Lambda \neq \emptyset} \sup_{\Omega} |\Phi_A(\omega)| < +\infty$ )

**Specification de Gibbs  $\gamma^{\beta\Phi} = (\gamma_{\Lambda}^{\beta\Phi})_{\Lambda \in \mathcal{S}}$**

$$\gamma_{\Lambda}^{\beta}(d\sigma|\omega) := \frac{1}{Z_{\Lambda}^{\beta}(\omega)} e^{-\beta H_{\Lambda}(\sigma|\omega)} \rho_{\Lambda} \otimes \delta_{\omega_{\Lambda^c}}(d\sigma)$$

**Mesure de Gibbs :  $\mu \in \mathcal{G}(\gamma^{\beta\Phi})$ ,  $\Phi$  UAC**

- Transition de phase si  $|\mathcal{G}(\gamma^{\beta\Phi})| > 1$
- Convexe  $\mathcal{G}(\gamma^{\beta\Phi})$  est un simplexe de Choquet (*Dynkin*)



# Principes variationnels

*Entropie relative spécifique :*

$$h(\mu|\nu) := \lim_{\Lambda \uparrow \mathcal{S}} \frac{1}{|\Lambda|} \mathcal{H}_{\Lambda}(\mu|\nu) \geq 0 \text{ lorsque la limite existe}$$

**Principe variationnel (version "spécification")**

$\Phi$  U.A.C. **invariant par translation**,  $\nu \in \mathcal{G}_{\text{inv}}(\gamma^{\beta\Phi})$ ,  $\mu \in \mathcal{M}_{\text{inv}}^+(\Omega)$

$$h(\mu|\nu) = 0 \iff \mu \in \mathcal{G}(\gamma^{\beta\Phi})$$

*Autres versions :* Principes variationnels "thermodynamiques", pression et entropie relative convexes conjuguées, ré-écriture du second principe de la thermodynamique, grandes déviations etc.

# Mesures de Gibbs et mesures quasilocales

## Champs de Markov : potentiel aux proches voisins

Les probabilités conditionnelles  $\mu[\sigma_{\Lambda} | \mathcal{F}_{\Lambda^c}](\omega)$  sont  $\mathcal{F}_{\partial\Lambda}$ -mesurables

## Mesures quasilocales : *Almost Markovian* (Sullivan, 1976)

$$\mu \in \mathcal{G}(\gamma) \text{ telle que } f \in C(\Omega) \implies \gamma_{\Lambda} f \in C(\Omega)$$

$$\iff$$

$\exists$  versions continues des probabilités conditionnelles sachant  $\mathcal{F}_{\Lambda^c}$

**Kozlov 1974 : Gibbs  $\iff$  Quasilocale et non-nulle**

## Principe variationnel pour $\gamma$ quasilocale (2004)

Si  $\nu \in \mathcal{G}_{\text{inv}}(\gamma)$  et  $\mu \in \mathcal{M}_{\text{inv}}(\Omega)$ ,  $h(\mu|\nu) = 0 \iff \mu \in \mathcal{G}_{\text{inv}}(\gamma)$

Mesures quasilocales : bon cadre de description des états d'équilibre

# Programme de l'exposé

- 1 Cadre DLR en mécanique statistique mathématique
- 2 Modèles d'Ising (proche-voisins) en dimensions 2 et 3
- 3 Modèle d'Ising à longue portée sur  $\mathbb{Z}$
- 4 Absence de  $g$ -mesure pour  $\mu_\beta^+$  à basse température
- 5 Perspectives

# Spécifications d'Ising à température $\beta^{-1} > 0$

$$H_\Lambda^\Phi(\sigma|\omega) = \sum_{A \cap \Lambda \neq \emptyset} \Phi_A(\sigma_\Lambda \omega_{\Lambda^c}), \quad \Phi_{\{i,j\}}(\omega) = -J(i,j)\omega_i\omega_j, \quad \Phi_{\{i\}}(\omega) = -h(i)\omega_i$$

- Proche-voisins ( $d = 2, 3$ ) :  $J(i, j) = J > 0$  iff  $|i - j| = 1$ .
- Longue portée ( $d = 1$ ) :  $J(i, j) = \frac{J}{|i-j|^\alpha}, \forall i \neq j \in \mathbb{Z}, \alpha > 1$ .

Transition de phase à basse T :  $\exists \beta_c(d) > 0$  ou  $\beta_c(\alpha) > 0$  t.q.

- Cas proche-voisins  $d = 2$  :  $\mathcal{G}(\gamma^{I,\beta}) = [\mu_\beta^-, \mu_\beta^+]$  pour  $\beta > \beta_c(2)$ .
- Cas proche-voisins  $d = 3$  : Dobrushin b.c.....  $\mu^\pm \in \text{ex}\mathcal{G}(\gamma) \setminus \mathcal{G}_{\text{inv}}(\gamma)$
- Longue portée  $d = 1$  :  $\mathcal{G}(\gamma^{D,\beta}) = [\mu_\beta^-, \mu_\beta^+]$  pour  $\beta > \beta_c(\alpha), \alpha \leq 2$ .

**Monotonie** :  $\mu_\beta^-(\cdot) := \lim_{\Lambda \uparrow \mathbb{S}} \gamma_\Lambda^{I,\beta}(\cdot|-) \ll \mu_\beta^+(\cdot) := \lim_{\Lambda \uparrow \mathbb{S}} \gamma_\Lambda^{I,\beta}(\cdot|+)$

## Interfaces d'Ising en dimensions 2, 3, basse T

Conditions aux bords de Dobrushin  $\tau$ ,  $\mu^{\pm}(\cdot) := \lim_{\Lambda_n \uparrow \mathcal{S}} \gamma_{\Lambda_n}^{I, \beta}(\cdot | \tau)$

$d = 2$  :  $\tau_i = -1$  si  $i \leq 0$  et  $\tau_i = +1$  si  $i > 0$

- Gallavotti (1972) : interface instable à fluctuations  $O(\sqrt{n})$
- Aizenman-Higuchi (1979/80) :  $\mu^{\pm} = \frac{1}{2}\mu^{-} + \frac{1}{2}\mu^{+} \in \mathcal{G}(\gamma^I)$
- Greenberg-Ioffe (2005) : Principe d'invariance, pont brownien.

(Localement, typiquement de  $\mu^{+}$  ou de  $\mu^{-}$ , sans coexistence).

$d = 3$  : Pour chaque plan  $\pi$ , conditions aux bords  $\tau = \pm 1$

Dobrushin (1972) van Beijeren (1975) : interface localisé, fluctuations  $O(1)$ . Près de l'interface, coexistence ressentie. L'état de Dobrushin  $\mu_{\pi}^{\pm}$  et ses translatés sont extrémaux et non invariants par translation.

(Localement, typiquement coexistence près de l'interface,  $\mu^{+}$  vers le haut,  $\mu^{-}$  vers le bas).

# Markov locale (unilatère) vs. Markov globale (bilatère)

Goldstein (1980), Föllmer (1980), Albeverio et al. (1981), Zegarliński (1987),  
von Weizsäcker (1980), Fernández/Pfister (1997)

Markov locale :  $\mu \in \mathcal{G}(\gamma) \implies \mu[\sigma_{\Lambda} | \mathcal{F}_{\Lambda^c}](\omega) \in \mathcal{F}_{\partial(r)\Lambda}, \forall \Lambda \in \mathcal{S}$

Markov globale :  $\mu \in \mathcal{G}(\gamma) \implies \mu[\sigma_{\Lambda} | \mathcal{F}_{\Lambda^c}](\omega) \in \mathcal{F}_{\partial(r)\Lambda}, \forall \Lambda \subset \mathcal{S}$

Un champ de Markov sans la propriété globale pour  $d = 3$

Reflexion  $T : (i_1, i_2, i_3) \longrightarrow (i_1, i_2, -i_3)$ , identité sur  $\{i_3 = 0\}$

$$\mu := \frac{1}{2}\mu^{\pm} + \frac{1}{2}T\mu^{\pm}$$

ne satisfait pas Markov globale (fausse pour  $\Lambda = F \in \mathcal{F}_{i_3 > 0}$ ).

## Spécifications globales - cas attractif

Q. : Est-il possible d'étendre  $\gamma$  à toute partie  $S$ , non finie, de sorte que les probabilités conditionnelles sachant  $\mathcal{F}_{S^c}$  soient fournies par la nouvelle spécification  $\Gamma$  ? Si oui quelle expression pour  $\Gamma$ .

R. : pas nécessairement, surtout en cas de transition de phase, des problèmes de choix mesurables apparaissent. Réponse positive en cas de monotonie et continuité dans certaines directions [FP97]

**Cas attractif : spécification globale  $\Gamma^+$  s.t.  $\mathcal{G}(\Gamma^+) = \{\mu^+\}$**

Spécification contrainte :  $\gamma^{S,\omega}, \gamma_{\Delta}^{S,\omega}(\cdot|\eta) := \gamma_{\Delta}^I(\cdot|\eta_S \omega_{S^c})$

Limite faible monotone :  $\mu_S^{+,\omega}(\cdot) := \lim_{\Delta \uparrow S} \gamma_{\Delta}^{S,\omega}(\cdot|+) \in \mathcal{G}(\gamma^{S,\omega})$

On définit  $\Gamma_S^+(d\eta|\omega) := \mu_S^{+,\omega}(d\eta_S) \otimes \delta_{\omega_{S^c}}(d\eta_{S^c}), \mathcal{G}(\Gamma^+) = \{\mu^+\}$

# Programme de l'exposé

- 1 Cadre DLR en mécanique statistique mathématique
- 2 Modèles d'Ising (proche-voisins) en dimensions 2 et 3
- 3 Modèle d'Ising à longue portée sur  $\mathbb{Z}$**
- 4 Absence de  $g$ -mesure pour  $\mu_\beta^+$  à basse température
- 5 Perspectives



Kac-Thomson (1969), Dyson (1969), Fröhlich-Spencer (1982), Cassandro et al. (2005 – 2009 – 2012 – 2014 – 2017), Littin-Picco (2016/17)

## Potentiel à décroissance polynomiale $1 < \alpha \leq 2$

$$\gamma_{\Lambda}^D(d\omega|\tau) = \frac{1}{Z_{\Lambda}^{\tau}} e^{\beta \sum_{i \neq j, i \in \Lambda, j \in \mathbb{Z}} \frac{1}{|i-j|^{\alpha}} \omega_i \omega_j} \rho_{\Lambda} \otimes \delta_{\tau_{\Lambda^c}}(d\omega)$$

- Transition de phase à basse température (via *contours et triangles*) :  $\mathcal{G}(\gamma^D) = [\mu_{\beta}^{-}, \mu_{\beta}^{+}]$
- Unicité pour champs magnétiques homogènes  $h_i = \pm h, \forall i \in \mathbb{Z}$ .
- Phase intermédiaire et effet Kosterlitz-Thouless pour  $\alpha = 2$  (*Imbrie/Newman* (1982)).
- Transition de phase pour le RFIM pour  $\alpha > \frac{3}{2}$  [COP09].

## Absence d'interface stable – interface "mésoscopique"

*Cassandro et al.* 2014 : Dobrushin b.c. et interface  $I^*$  réduit à un point (bien défini) pour  $\alpha_+ < \alpha < 2$ , (borne inf. technique)

$\mu^{-+}$  : Dobrushin b.c. dans la boîte  $\Lambda_L = [-L, +L]$  :

**Contrôle des déviations de l'interface pour  $\alpha \in (\alpha_+, 2)$**

$\exists \beta_1(\alpha)$  t.q.  $\beta > \beta_1(\alpha)$ ,  $\exists \varepsilon(\beta) > 0$ ,  $L(\varepsilon) \geq 1$  t.q. pour tout  $L > L(\varepsilon)$ ,

$$\mu_{\Lambda_L}^{-+} [ |I^*| > \varepsilon L ] \leq 3(1 - \varepsilon) L e^{-CL^{2-\alpha}(1+o(L))},$$

avec  $C \equiv C(\alpha, \beta, \varepsilon)$  constante positive.

**"Répulsion entropique"**

$\exists \beta_2 > \beta_1$  t.q. pour  $\beta > \beta_2$ ,  $\exists \varepsilon = \varepsilon(\beta)$ ,  $L_0(\alpha, \beta) > L(\varepsilon)$  t.q. pour  $L > L_0$ ,  
 si  $N > L$  et  $LN^{1-\alpha} = o(1)$  alors ,

$$\mu^+ [\omega_i | -N, -1] \leq -\frac{m}{2}$$

pour  $m = m(\beta) > 0$  et tout  $i \in [-N - \frac{(1-\varepsilon)}{2}L, -N - 1] \cup [0, \frac{(1-\varepsilon)}{2}L]$ .

# Programme de l'exposé

- 1 Cadre DLR en mécanique statistique mathématique
- 2 Modèles d'Ising (proche-voisins) en dimensions 2 et 3
- 3 Modèle d'Ising à longue portée sur  $\mathbb{Z}$
- 4 Absence de  $g$ -mesure pour  $\mu_\beta^+$  à basse température
- 5 Perspectives

## $g$ -functions and $g$ -measures (Keane 1972)

*Chains with complete connections (Ornicescu/Mihoc 1935), à liaisons complètes (Doebelin/Fortet 1937), with infinite order (Harris 1955), Variable Length Markov Chains (Rissanen 1983) uniform martingales (Kalikow 1990).*

Markov : Conditionnement unilatère :

$$\mu[\sigma_1 | \mathcal{F}_{\leq 0}](\sigma) = \mu[\sigma_0 | \mathcal{F}_{\{0\}}](\sigma) = \mu[\sigma_1 | \sigma_0] = P(\sigma_0, \sigma_1).$$

soit  $\mu[\sigma_1 | \mathcal{F}_{(>0)^c}] = \mu[\sigma_1 | \mathcal{F}_{S^c}]$ ,  $S = ]0, +\infty[$  **n'est pas** un ensemble fini.

### $g$ -mesures : consistente avec une $g$ -fonction continue

- $g : \Omega \mapsto [0, 1]$  normalisée et  $\mathcal{F}_{<0}$ -mesurable.
- $g$ -mesure  $\nu$  ssi il existe une  $g$ -fonction  $g_0$  telle que  $\nu g_0 = \nu$ , i.e. for  $\mu$  a.e.  $\omega$ ,  $\nu[\omega_0 | \mathcal{F}_{<0}](\omega) = g_0(\omega)$ .

**Question :**  $\mu^+ \in \mathcal{G}(\gamma^D)$ ,  $d = 1$ ,  $\alpha \in (1, 2)$  **est-elle une  $g$ -mesure ?**

## Description unilatère de $\mu^+ \in \mathcal{G}(\gamma^D)$

$g$ -fonction candidate :  $g^+$  à partir de la spécification globale  $\Gamma^+$

$$g^+(\omega) := \mu^+[\omega_0 | \mathcal{F}_{<0}](\omega) = \Gamma_{\mathbb{Z}_+}^+[\omega_0 | \omega] = \lim_{I \in \mathcal{S}, I \uparrow \mathbb{Z}_+} \gamma_I^D(\cdot | +_{\mathbb{Z}_+} \omega_{\mathbb{Z}_+^c})$$

$g^+$  : aimantation sous un modèle de Dyson à même portée sur  $\mathbb{Z}^+$ , avec un *champ extérieur aléatoire inhomogène*  $h_x[\omega]$  dont l'aléa  $\omega$  est de loi  $\dots \mu^+$ .

Discontinuité essentielle en  $\omega = \omega_{\text{alt}}$ , avec  $(\omega_{\text{alt}})_i = (-1)^i$

Pour un modèle de Dyson à basse température et exposant  $\alpha_+ < \alpha < 2$ , pour  $N \gg L$  grands, tels que  $LN^{1-\alpha} = o(1)$ ,

$$\forall \omega^\pm \in \mathcal{N}_{N,L}^\pm(\omega_{\text{alt}}), \left| \mu_{\mathbb{Z}_+}^{+, \omega^+}[\sigma_0] - \mu_{\mathbb{Z}_+}^{+, \omega^-}[\sigma_0] \right| > \delta.$$

**Conséquence :  $\mu^+$  n'est pas une  $g$ -mesure.**

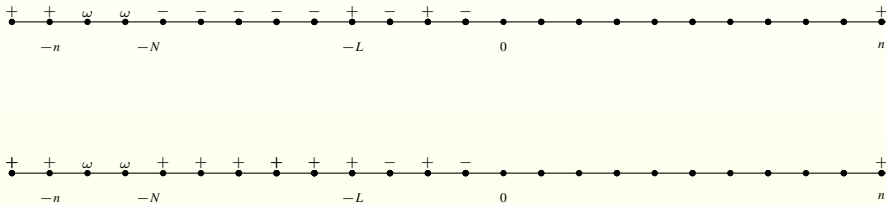


Figure 1 : Left  $\pm$  Neighborhoods of  $\omega_{\text{alt}}$

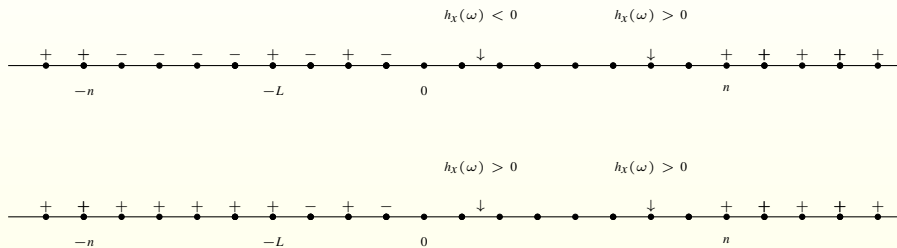


Figure 2 : Inhomogeneous  $\omega$ -dependent external fields

# "Wetting transition and entropic repulsion"

Cassandro *et al.* CMP 2014 : (point d') interface  $I^*$  bien défini.  
 Longue portée, (très) basse température :  $I^*$  "reste au milieu".

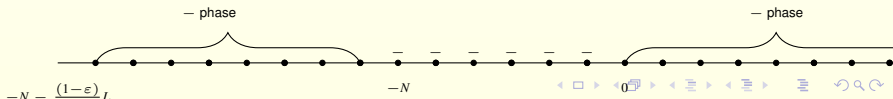
**LD estimate (BEELN 2017) :** pour  $\alpha_+ < \alpha < 2$ ,  $\beta > \beta(\alpha)$ ,  $\epsilon = \epsilon(\beta)$ ,

$$\exists L = L(\epsilon), L > L(\epsilon) : \mu_{\Lambda_L}^{-+} [ |I^*| > \epsilon L ] \leq 3(1 - \epsilon) L e^{-CL^{2-\alpha}(1+o(L))}$$

**Répulsion entropique :** pour  $L > L_0$ ,  $N > L$ ,  $LN^{1-\alpha} = o(1)$

Pour  $m = m(\beta) > 0$  et  $i \in [-N - \frac{(1-\epsilon)}{2}L, -N - 1] \cup [0, \frac{(1-\epsilon)}{2}L]$

$$\mu^+[\omega_i |_{-N, -1}] \leq -\frac{m}{2}$$





# Discontinuité essentielle en $\omega = \omega_{\text{alt}}$ pour $g^+$

$$\forall \omega^{\pm} \in \mathcal{N}^{\pm}(\omega_{\text{alt}}), \left| \mu_{\mathbb{Z}_+}^{+, \omega^+}[\sigma_0] - \mu_{\mathbb{Z}_+}^{+, \omega^-}[\sigma_0] \right| > \delta.$$

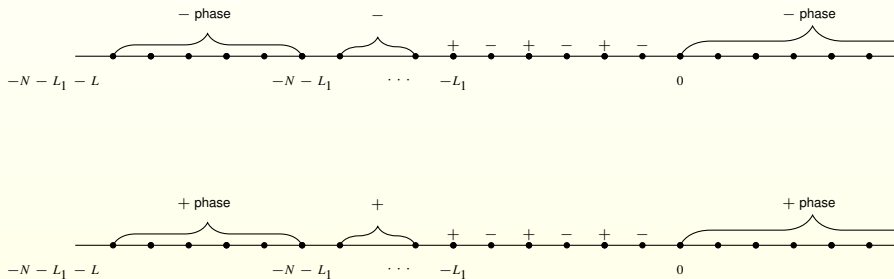


Figure 4 : From wetting to essential discontinuity

# Programme de l'exposé

- 1 Cadre DLR en mécanique statistique mathématique
- 2 Modèles d'Ising (proche-voisins) en dimensions 2 et 3
- 3 Modèle d'Ising à longue portée sur  $\mathbb{Z}$
- 4 Absence de  $g$ -mesure pour  $\mu_\beta^+$  à basse température
- 5 Perspectives

# Perspectives

F. Paccaut (LAMFA) :

*$g$ -mesures "non-régulières" ou "non"- $g$  mesures*

# Références

## Courte bibliographie – Chronologie

- [Dob68]** R. Dobrushin. TPA 13, 1968.  
*The Description of a Random Field by Means of Conditional Probabilities and Conditions of its Regularity.*
- [LR69]** O. Lanford, D. Ruelle. CMP 13, 1969.  
*Observables at Infinity and States with Short Range Correlations in Statistical Mechanics.*
- [Dob72]** R. Dobrushin. TPA 17, 1972.  
*Gibbs state describing the coexistence of phases in the 3d Ising model.*
- [G80]** S. Goldstein. *Remarks on the Global Markov Property.* CMP 74, 1980.
- [F80]** H. Föllmer. *On the Global Markov Property.* Springer NY, 1980.
- [AHK081]** : S. Albeverio, R. Hoegh-Krohn, G. Olsen. JMA 11, 1981.  
*The Global Markov Property for Lattice Systems.*
- [FP97]** : R. Fernández, C.-E. Pfister. AP 25, 1997.  
*Global Specification and non-Quasilocality of Projections of Gibbs Measures.*
- [CFMP05]** : M. Cassandro, P. Ferrari, I. Merola, E. Presutti. JMP 46, 2005.  
*Geometry of Contours and Peierls Estimate in  $d = 1$  Ising Models with Long-Range Interactions.*
- [CMPR14]** : M. Cassandro, I. Merola, P. Picco, U. Rozikov. CMP 327, 2014.  
*One-Dimensional Ising Models with Long Range Interactions : Cluster Expansions, Phase-Separating point.*
- [LP16]** : J. Littin, P. Picco. Preprint 2016.  
*Quasi-Additive Estimates on the Hamiltonian for the One-Dimensional Long-Range Ising Model.*
- [CMP17]** M. Cassandro, I. Merola, P. Picco. JSP 167, 2017.  
*Phase Separation for the Long-Range One-Dimensional Ising Model.*
- [BEELN17]** : R. Bissacot, E. Endo, A. van Enter, A. Le Ny. ArXiv 2017.  
*Entropic Repulsion and Lack of the  $g$ -measure Property for Dyson Models.*
- [BFV17]** : S. Berghout, R. Fernández, E. Verbitskiy. Preprint 2017.  
*On the Relation Between Gibbs and  $g$ -measures.*